

Часть I :

1) Для некоторой пары векторов размерности (v, d) :

$$v = (v_1, \dots, v_{n-s}) \quad \rangle$$

$$d = (d_1, \dots, d_{n-s}) \quad \rangle$$

Клаффи построил гильберт

$$x \in \mathfrak{gl}_n \quad \text{и}$$

изоморфизм

$$\mathfrak{m}_0(v, d) \xrightarrow{\cong} \mathcal{S}_x =$$

$$\uparrow = \left\{ \begin{array}{l} \text{срез Лиодови,} \\ \text{соответствующий } x \in \mathcal{Y} \cap \mathcal{N} \end{array} \right.$$

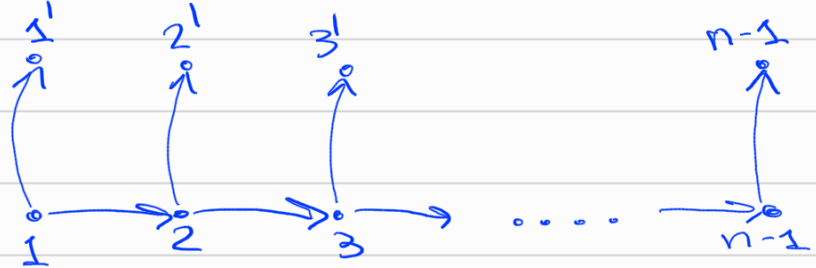
ин-ие Наканнина.
типа A_{n-s}

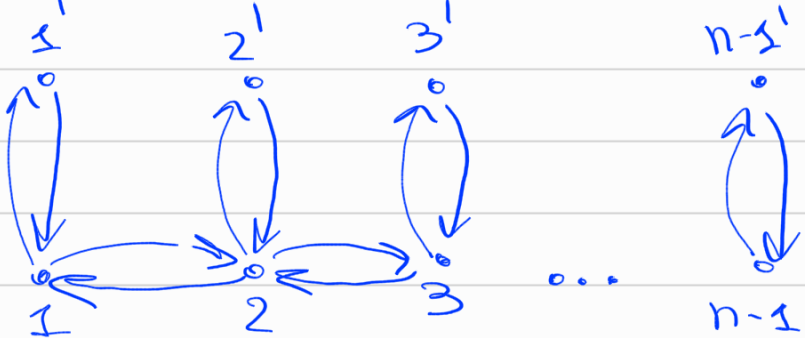
↑
гильбертов
конус в \mathfrak{gl}_n

2) Им-Лай-Вилберт написали две изоморфизма Клаффи сверху формулу.

Мн-ие Хакасшиши:

Кочан $Q =$ 

Framed кочан $Q^{\mathcal{D}} =$ 

Framed double кочан $\overline{Q^{\mathcal{D}}} =$ 

Зафиксируем вектора размерностей

$$v = (v_1, \dots, v_{n-1}),$$
$$d = (d_1, \dots, d_{n-1})$$

и векторные пространства

$$V = (V_1, \dots, V_{n-1}),$$

$$D = (D_1, \dots, D_{n-1})$$

размерностей v и d соответственно.

$$R(v,d) \stackrel{\text{def}}{=} \bigoplus_{i=1}^{n-1} \left(\text{Hom}(V_i, V_{i+1}) \oplus \text{Hom}(V_{i+1}, V_i) \oplus \right.$$

$$\left. \oplus \text{Hom}(D_i, V_i) \oplus \text{Hom}(V_i, D_i) \right) - \text{пространство представлений кучаки } \overline{Q^n}.$$

(сумма, что $D_n = V_n = 0$)

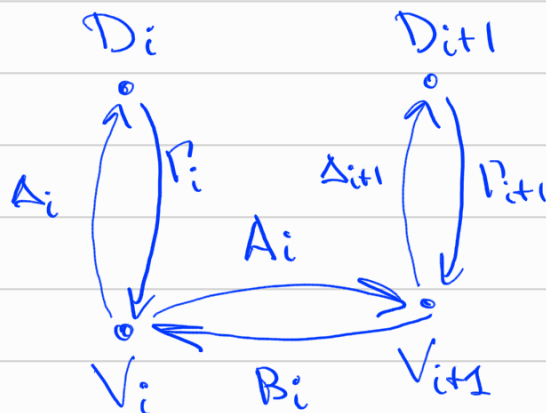
$$G_V \stackrel{\text{def}}{=} GL(V_1) \times GL(V_2) \times \dots \times GL(V_{n-1}) \curvearrowright R(v,d)$$

по формуле

$$(g_1, \dots, g_{n-1}) \left((A_i, B_i, \Gamma_i, \Delta_i) \in \text{Hom}(V_i, V_{i+1}) \oplus \text{Hom}(V_{i+1}, V_i) \oplus \right.$$

$$\left. \oplus \text{Hom}(D_i, V_i) \oplus \text{Hom}(V_i, D_i) \right) =$$

$$= \left(g_{i+1} A_i g_i^{-1}, g_i B_i g_{i+1}^{-1}, g_i \Gamma_i, \Delta_i g_i^{-1} \right), i \in \overline{1..n-1}.$$



$$\left(\begin{array}{l} V_n = D_n = 0, \\ A_{n-1} = B_{n-1} = 0. \end{array} \right)$$

Это действие является симплектическим, соответствующее отображению элементов

$$\mu: R(v,d) \longrightarrow \bigoplus_{i=1}^{n-1} gl(V_i)$$

отображаем $(A_i, B_i, \Gamma_i, \Delta_i)_{i \in \overline{1..n-1}}$ \mathfrak{b}

$$\left(B_i A_i - A_{i-1} B_{i-1} - \Gamma_i \Delta_i \right) \in \mathfrak{gl}(V_i) .$$

$$\left(A_0 = B_0 = A_{n-1} = B_{n-1} = 0 \right)$$

Опр 1.1 Точка $(A, B, \Gamma, \Delta) \in \mu^{-1}(0)$ неустойчивой, если для любого подпространства $S \subseteq V$ т.ч.

- S инвариантно относительно A и B ,
- $S \supseteq \text{im } \Gamma$,

выпуклено $S = V$.

Обозначение:

$$\Gamma_{j \rightarrow i} = \begin{cases} B_i \dots B_{j-1} \Gamma_j, & \text{если } j \geq i \\ A_{i-1} \dots A_j \Gamma_j, & \text{если } j \leq i. \end{cases}$$

Лемма 1.2 Точка $(A, B, \Gamma, \Delta) \in \mu^{-1}(0)$ неустойчива тогда и только тогда, когда

$$\forall i \in \overline{1..n-1} \quad \text{Im } A_{i-1} + \sum_{j \geq i} \text{Im } \Gamma_{j \rightarrow i} = V_i .$$

Доказательство:

$$\left(\Rightarrow \right) \quad \text{Положим } S_i = \text{Im } A_{i-1} + \sum_{j \geq i} \text{Im } \Gamma_{j \rightarrow i} .$$

Тогда $S \subseteq V$ удовлетворяет условиям определения 1.1.

(\Leftarrow) Рассмотрим $S \subseteq V$, удовлетворяющее условиям определения 1.1. Во-первых,

$$\begin{cases} B(S) \subseteq S; \\ \text{Im } \Gamma \subseteq S. \end{cases} \Rightarrow S_i \supseteq \sum_{j \geq i} \text{Im } \Gamma_{j \rightarrow i}.$$

Т.к. $\text{Im } A_0 = 0$, $S_1 = V_1$.

$$S_2 \supseteq A_1(S_1) = A_1(V_1) = \text{Im } A_1.$$

И так далее Получаем $S = V$.

□

Обозначение: открытую подструктуру в $\mu^{-1}(0)$, состоящую из полустабильных точек, обозначают за

$$\mu^{-1}(0)^{ss}.$$

Предложение 1.3 $G_V \curvearrowright \mu^{-1}(0)^{ss}$ - свободное действие.

Доказательство: Рассмотрим точку $(A, B, \Gamma, \Delta) \in \mu^{-1}(0)^{ss}$.

Зафиксируем элемент $g \in \text{Stab}_{G_V}(A, B, \Gamma, \Delta) \subset G_V$.

По лемме 1.2, отображение

$$\bigoplus_{j=1}^{n-1} D_j \xrightarrow{\bigoplus \Gamma_{j \rightarrow 1}} V_1$$

сюръективно. Следовательно, $g_1 = 1$. Рассмотрим аналогично про отображение.

$$\bigoplus_{j=2}^{n-1} D_j \oplus V_1 \xrightarrow{(\bigoplus \Gamma_{j \rightarrow 2}, A_1)} V_2,$$

получаем $g_2 = 1$. И так далее ... \square

Теперь из GIT следует, что фактор

$$\frac{\mu^{-1}(0)^{SS}}{G_V}$$

существует и является гладким многообразием, проективным над "категорным" фактором

$$\frac{\mu^{-1}(0)}{G_V} \stackrel{\text{def}}{=} \text{Spec}(\mathbb{C}[\mu^{-1}(0)]^{G_V}).$$

Определение 1.4

Многообразие

$$m(\tilde{v}, d) = \frac{\mu^{-1}(0)^{SS}}{G_V} \quad \text{и}$$

$$m_0(\tilde{v}, d) = \frac{\mu^{-1}(0)}{G_V}$$

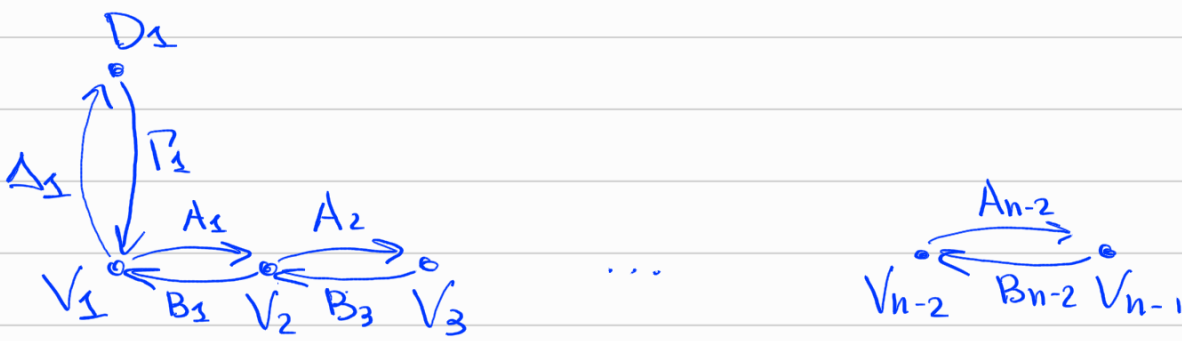
называются многообразиями Накаджимы.

Рассмотрим случай

$$\begin{aligned} \tilde{d} &= (n, 0, \dots, 0), \\ \tilde{v} &= (n-1, n-2, \dots, 1). \end{aligned}$$

В данном случае $\mu^{-1}(0)^{SS} = \{ (A, B, \Gamma, \Delta) \in \mu^{-1}(0) : \Gamma_1, A_1, \dots, A_{n-2} \text{ сюръективны} \}$

(Кроме того, в данном случае, как следует из результатов Накаджимы, морфизм $m(\tilde{v}, d) \rightarrow m_0(\tilde{v}, d)$ является бирациональным)



$$\dim D_1 = n$$

$$\dim V_1 = n-1$$

...

$$\dim V_{n-1} = 1$$

Обозначение: $FI(D_1) = \{0 < D_1^{(1)} < \dots < D_1^{(n)} = D_1\}$ - многообразие полных флагов в D_1 .

Кокасательное $T^*FI(D_1)$ можно описать как

$$\{ (u \in \mathfrak{gl}(D_1), 0 < D_1^{(1)} < \dots < D_1^{(n)} = D_1) : u(D_1 = D_1^{(n)}) \subset D_1^{(n-1)}, \dots, u(D_1^{(1)}) = 0 \}$$

Частный случай изоморфизма Шаффера:

Заметим, что соответствие

$$(A, B, P, \Delta) \mapsto (\Delta_1 P_1, 0 \subset \ker A_{n-2} \dots A_1 P_1 \subset \dots \subset \ker P_1 \subset D_1)$$

индуцирует отображение

$$\Psi: \mu^{-1}(0)^{SS} \longrightarrow T^*FI(D_1)$$

Предложение 1.5 Ψ индуцирует изоморфизм

$$m(\tilde{v}, \tilde{d}) = \frac{\mu^{-1}(0)^{SS}}{G_V} \xrightarrow{\cong} T^*FI(D_1).$$

Доказательство:

Во-первых, Ψ G_V -эквивариантно для тривиального действия G_V на $T^*FI(D_1)$. Следовательно, Ψ пропускается как

$$\mu^{-1}(0)^{SS} \rightarrow \frac{\mu^{-1}(0)^{SS}}{G_V} \xrightarrow{\bar{\Psi}} T^*FI(D_1).$$

Чтобы показать, что $\bar{\Psi}$ - изоморфизм, достаточно показать, что G_V действует свободно транзитивно в слэках Ψ .

Зафиксируем точку $f = (u \in \text{End}(D_1), 0 < D_1^{(1)} \subset \dots \subset D_1) \in T^*FI(D_1)$

Γ_1 из прообраза $\Psi^{-1}(f)$ восстанавливается как изоморфизм

$$D_1 / D_1^{(1)} \xrightarrow{\cong} V_1$$

единственно с точностью до действия $GL(V_1)$.
Зафиксируем Γ_1 . Δ_1 восстанавливается единственным образом из уравнения

$$u = \Delta_1 \Gamma_1.$$

Далее, $\Lambda_1 \Gamma_1$ восстанавливается как изоморфизм

$$D_1 / D_1^{(2)} \xrightarrow{\cong} V_2$$

единственным образом, с точностью до действия $GL(V_2)$.
 Из $A_1 \Gamma_1$ восстанавливается A_1 . Из уравнения
 $\Gamma_1 \Delta_1 = B_1 A_1$
 восстанавливается B_1 . И так далее ... \square

Обозначение:

$$\pi: T^*FI(D_1) \rightarrow \mathcal{N} \subset \mathfrak{gl}(D_1)$$

ψ

← касательный
 ψ конус

$$(u, \text{фаз}) \mapsto u$$

— разрешение Сирингера.

Соответствие $(A, B, \Gamma, \Delta) \in \pi^{-1}(0) \mapsto$

$$\mapsto \Delta_1 \Gamma_1 \in \mathcal{N}$$

задает G_V -эquivариантный морфизм

$$\pi^{-1}(0) \rightarrow \mathcal{N}$$

(G_V действует тривиально на \mathcal{N})

аффинная схема.

Следовательно, индуцирует морфизм

$$\bar{\psi}_0: \pi_0(\tilde{d}, \tilde{v}) = \pi^{-1}(0) // G_V \rightarrow \mathcal{N}.$$

Предложение 1.6 $\bar{\psi}_0$ — изоморфизм.

Доказательство: Рассмотрим коммутативную диаграмму

$$\begin{array}{ccc}
 m(\tilde{v}, \tilde{c}) & \xrightarrow{\overline{\Psi}} & T^*FL(D_1) \\
 \downarrow p & & \downarrow \pi \\
 m_0(\tilde{v}, \tilde{c}) & \xrightarrow{\overline{\Psi}_0} & \mathcal{N}
 \end{array}$$

Морфизмы π и p являются собственными и бирациональными. Следовательно, $\overline{\Psi}_0$ является собственным и бирациональным. Так как $\overline{\Psi}_0$ является собственным и аффинным, $\overline{\Psi}_0$ является конечным. Тогда, из нормальности \mathcal{N} следует, что $\overline{\Psi}_0$ изоморфизм.

(kraft.)

□

Замечание Предложения 1.5 и 1.6 являются частным случаем изоморфизма Maffei, доказанным Накаджимой. ◇

Изоморфизм Maffei

Обозначение

- разбиение $\lambda = (\lambda_1, \dots, \lambda_r)$, $|\lambda| = n$.
- векторное пространство $D_0' = \langle t_{ij} \rangle = \langle t_{11}, \dots, t_{1\lambda_1}, t_{21}, \dots, t_{2\lambda_2}, \dots, t_{r\lambda_r} \rangle \cong \mathbb{C}^n$
- где каждому $k \in \overline{1 \dots n-1}$, векторное пространство $D_k = \langle t_{ij} \mid \lambda_j = k \rangle$, $d_k = \dim D_k =$ число раз, которое k встречается в λ .

(Так получается, что мы не рассматриваем разбиение $\lambda = (n)$.)

$d = (d_1, \dots, d_{n-1})$ задает нам один из векторов размерностей для n -иш Накаджимы.

- Для $k \in \overline{1 \dots n-1}$,
 $v_k = (n-k) - (n-k-1)d_{n-1} - (n-k-2)d_{n-2} - \dots - d_{k+1}$.

Это задает нам второй вектор размерностей для n -иш Накаджимы.

- $x \in \mathfrak{gl}(D'_0)$ — элемент типа λ :
 $x(t_{ij}) = t_{ij-1}$.

Определение 1.7

- Срез Лиодови $S_x \stackrel{\text{def}}{=} \{ u \in \mathfrak{X}(\mathfrak{gl}(D'_0)) : [x-u, y] = 0 \}$,
 где y дополняет x до sl_2 -тройки.

- Многообразие Лиодови $\tilde{S}_x \stackrel{\text{def}}{=} \pi^{-1}(S_x) \subset T^*FI(D'_0)$,
 где
 $\pi: T^*FI(D'_0) \rightarrow \mathcal{N}$ — разрешение Грингера.

(См. например V. Ginzburg: 0807.0339) многообразие \tilde{S}_x является гладким, а морфизм $\pi_x: \tilde{S}_x \rightarrow S_x$ — разрешением особенностей.

Теорема 1.8 (Maffei) Существуют изоморфизмы

$$\begin{array}{ccc}
 m(v, d) & \xrightarrow{\psi^\lambda} & \tilde{S}_x \\
 \downarrow \rho_\lambda & & \downarrow \pi_x \\
 m_0(v, d) & \xrightarrow{\psi_0^\lambda} & S_x
 \end{array}$$

Замечание Предположения 1.5 и 1.6 сводятся к естественному случаю теоремы 1.8: можно положить $\lambda = (1, \dots, 1)$.
 (В этом случае $x=0$.) ◇

Изоморфизм Ψ^λ является частью коммутативной диаграммы

$$\begin{array}{ccc}
 m(\tilde{v}, \tilde{d}) & \xrightarrow{\sim \Psi} & T^*FE(D'_0 = \tilde{D}_0) \\
 \uparrow & & \uparrow \\
 m(v, d) & \xrightarrow{\sim \Psi^\lambda} & S_x
 \end{array}$$

Аналогично, изоморфизм $\overline{\Psi}_0^\lambda$ является частью коммутативной диаграммы

$$\begin{array}{ccc}
 m_0(\tilde{v}, \tilde{d}) & \xrightarrow{\sim \overline{\Psi}_0} & \mathcal{N} \subset gl(D'_0) \\
 \uparrow & & \uparrow \\
 m_0(v, d) & \xrightarrow{\sim \overline{\Psi}_0^\lambda} & S_x
 \end{array}$$

Для композиций $m(v, d) \hookrightarrow T^*FE(D'_0)$ и $m_0(v, d) \hookrightarrow \mathcal{N}$ в статье Im-Lai-Wilbert бира написана явная формула:

Точке $[A, B, \Gamma, \Delta] \in m(v, d)$ соответствует

1) флаг $\mathcal{O} = F_n < F_{n-1} < \dots < F_1 < F_0 = D'_0$, определенный по формуле

$$F_i = \text{ядро оператора}$$

$$\forall e \left(A_{s \rightarrow e} \Gamma_{\rightarrow s} \mid \dots \mid A_{s \rightarrow e} \Gamma_{\rightarrow s} \mid \dots \mid \Gamma_{\rightarrow e} \right),$$

где $D_s'' = \langle t_{is} \rangle_{i \in \dots} \subset D_0'$ и
 $A_{s \rightarrow e} \Gamma_{\rightarrow s}(t_{is}) = A_{s \rightarrow e} \Gamma_{\lambda_i \rightarrow s}(t_i)$

2) линейный оператор $u \in \mathcal{N} \subset gl(D_0')$, определенный по формуле

$$u(t_{ij}) = \begin{cases} t_{ij-1}, & \text{если } j \geq 2; \\ \Delta_{s \rightarrow \Gamma_{\rightarrow s}}(t_i), & \text{если } j=1; \end{cases}$$

где $\bigoplus_{i=1}^{n-1} D_i$ вкладывается в D_0' как подпространство, натянутое на 1-ый столбец:

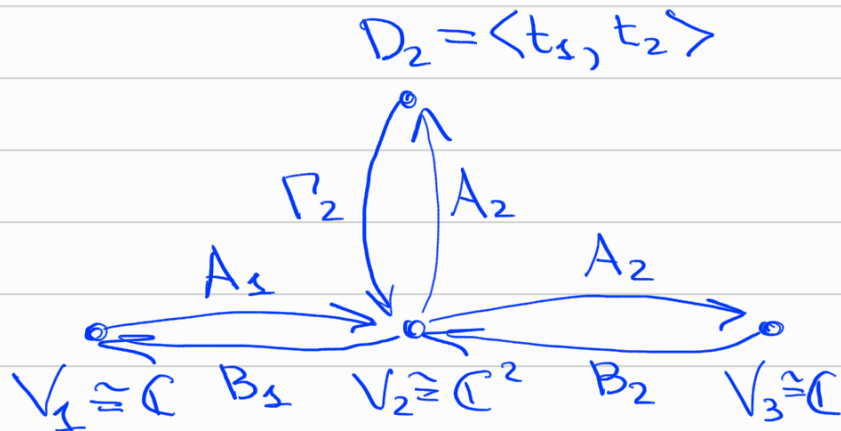
$$\bigoplus_{i=1}^{n-1} D_i = \begin{array}{|c|c|c|c|} \hline t_{11} & t_{12} & t_{13} & \dots \\ \hline t_{21} & t_{22} & t_{23} & \dots \\ \hline t_{31} & t_{32} & \dots & t_{3\lambda_3} \\ \hline \vdots & \vdots & \vdots & \vdots \\ \hline t_{r1} & t_{r2} & \dots & t_{r\lambda_r} \\ \hline \end{array} = D_0'$$

$t_j \mapsto t_{j1}$

Пример:

$n=4$
 $\lambda = (2, 2)$

$$\Rightarrow \begin{cases} d = (0, 2, 0); \\ v = (1, 2, 1). \end{cases}$$



$D_0' = \langle t_{11}, t_{12}, t_{21}, t_{22} \rangle$

- $D_1'' = \langle t_{11}, t_{21} \rangle \subset D_0'$
- $D_2'' = \langle t_{12}, t_{22} \rangle \subset D_0'$
- $D_3'' = 0 \subset D_0'$

Точке $[A, B, P, \Delta]$ соответствующим образом

$$F_3 = \ker \left(V_3 \begin{matrix} D_1'' & D_2'' & D_3'' = 0 \\ A_{1 \rightarrow 3} P_{\rightarrow 1} & A_{2 \rightarrow 3} P_{\rightarrow 2} & P_{\rightarrow 3} \end{matrix} \right)$$

- $A_{1 \rightarrow 3} P_{\rightarrow 1}(t_{11}) = A_{1 \rightarrow 3} P_{2 \rightarrow 1}(t_1) = A_2 A_1 B_1 P_2(t_1)$,
 $A_{1 \rightarrow 3} P_{\rightarrow 1}(t_{21}) = A_{1 \rightarrow 3} P_{2 \rightarrow 1}(t_2) = A_2 A_1 B_1 P_2(t_2)$

- $A_{2 \rightarrow 3} P_{\rightarrow 2}(t_{12}) = A_{2 \rightarrow 3} P_{2 \rightarrow 2}(t_1) = A_2 P_2(t_1)$,
 $A_{2 \rightarrow 3} P_{\rightarrow 2}(t_{22}) = A_2 P_2(t_2)$

- $F_2 = \ker \left(V_2 \begin{matrix} D_1'' & D_2'' \\ A_{1 \rightarrow 2} P_{\rightarrow 1} & P_{\rightarrow 2} \end{matrix} \right)$

- $A_{1 \rightarrow 2} P_{\rightarrow 1}(t_{11}) = A_{1 \rightarrow 2} P_{2 \rightarrow 1}(t_1) = A_1 B_1 P_2(t_1)$,
 $A_{1 \rightarrow 2} P_{\rightarrow 1}(t_{21}) = A_1 B_1 P_2(t_2)$

- $P_{\rightarrow 2}(t_{12}) = P_{2 \rightarrow 2}(t_1) = P_2(t_1)$,
 $P_{\rightarrow 2}(t_{22}) = P_2(t_2)$

- $F_1 = \ker \left(V_1 \begin{matrix} D_1'' \\ P_{\rightarrow 1} \end{matrix} \right)$

- $P_{\rightarrow 1}(t_{11}) = P_{2 \rightarrow 1}(t_1) = B_1 P_2(t_1)$,

- $P_{\rightarrow 1}(t_{21}) = P_{2 \rightarrow 1}(t_2) = B_1 P_2(t_2)$

и ненулевым $u \in S_x \subset \mathcal{N} \subset \mathfrak{gl}(D_0')$

- $u(t_{11}) = \Delta_{1 \rightarrow 1} P_{\rightarrow 1}(t_1) = \Delta_2 B_1 A_1 P_2(t_1)$

(Связи между координатами $D_2 \subset D_0'$
 $t_{11} \rightarrow t_{11}, t_{21} \rightarrow t_{21}$)

- $u(t_{12}) = t_{11}$

- $u(t_{22}) = t_{21}$

- $u(t_{21}) = \Delta_{1 \rightarrow 2} P_{1 \rightarrow 2}(t_2) = \Delta_2 B_1 A_1 P_2(t_2)$.